

^{192}Ir 선원의 γ 선 자기흡수효과 측정

조운갑, 한현수, 박춘득, 박울재, 이철영

한국원자력연구소

대전광역시 유성구 덕진동 150

요 약

산업용 및 의료용으로 사용되는 ^{192}Ir 방사선원에 대한 γ 선 자기흡수효과인자를 실험을 통하여 구하였다. 이를 위하여 3 mm ϕ x 3 mm t, 2.5 mm ϕ x 2.5 mm t, 2 mm ϕ x 2 mm t의 원주형 Ir 표적과 3 mm ϕ x 0.25 mm t, 3 mm ϕ x 0.1 mm t의 원판형 Ir 표적을 하나로의 PTS(Pneumatic Transport System)조사공에서 중성자 조사하였다. 이온전리함을 사용하여 각 Ir 표적의 방사능을 측정하고 계산에 의해서 구한 생성방사능 값과의 비를 구하는 방법으로 ^{192}Ir 의 γ 선 자기흡수효과인자를 구하였다. 이 값들은 원주형 표적에 대하여 각각 0.614, 0.687, 0.704 였고 원판형 표적에 대하여 각각 0.827, 0.875 였다. 원주형 Ir 표적내부의 중성자 자기흡수효과 정도의 알아보기 위하여 2.5 mm ϕ x 0.25 mm t Ir 표적 10장을 포개어 중성자 방사화시킨 후 각 표적의 방사능을 측정된 결과 가장 바깥쪽 표적의 방사능이 중심부에 위치한 표적보다 약 2배정도 방사화가 많이 일어남을 알 수 있었다. 이번에 구한 γ 선 자기흡수효과인자는 향후 산업용 및 의료용으로 사용되는 ^{192}Ir 방사선원의 사용자에게 제공되는 최종방사능을 평가하는데 유용하게 사용될 수 있다.

1. 서 론

^{192}Ir 는 약 20종류의 γ 선을 방출하며 그 평균 에너지는 400 KeV 정도이다¹⁾. Ir 금속의 밀도는 22.4 g/cm³ 로 비교적 높기 때문에 최종선원을 제조할 때에는 Ir 표적 자체에 의한 γ 선 자기흡수효과를 고려하여야 한다. 일반적으로 γ 선의 자기흡수를 정량적으로 다루기 위해서는 선원의 형상을 근사적으로 평판형, 실린더형 또는 구형으로 근사 시키고 선원내의 방사능 분포는 일정하다고 가정하여 γ 선의 유효흡수계수 μ_{eff} 를 사용하여 계산한다²⁾. 하지만 실제로 중성자를 조사할 때 표적의 중성자 자기흡수효과로 인해서 표적내부의 방사능 분포는 일정하지 않게 된다. 본 실험에서는 ^{192}Ir 의 γ 선 자기흡수인자를 구하기 위하여 3 mm ϕ x 3 mm t, 2.5 mm ϕ x 2.5 mm t 및 2 mm ϕ x 2 mm t 원주형 Ir 표적과 3 mm ϕ x 0.1 mm t, 3 mm ϕ x 0.25 mm t의 원판형 Ir 표적을 하나로 PTS 조사공에서 방사화시켜 생성방사능을 측정하고 계산에 의한 구한 생성방사능 값과의 비를 구하는 방법으로 Ir 물질내에서의 ^{192}Ir 의 γ 선의 자기흡수인자를 구하였다. Ir 표적은 열중성자 방사

화단면적(940 barn)이 매우 높기 때문에 원자로에서 중성자 조사시킬 때 중성자 자기흡수효과가 매우 크다. 즉 중성자 속중에 Ir 표적이 놓일 때 그 표면에서는 방사화가 잘 일어나서 생성 비방사능이 높고 표적의 내부에서는 상대적으로 방사화가 덜 일어나서 비 방사능이 표면에 비해서 낮아지게 된다. 따라서 방사능의 표적내 분포가 일정하지 않고 또 그 분포를 정확하게 알기가 매우 어렵다. 본 실험에서는 국내에서 산업용 및 의료용 선원으로서 주로 사용이 예상되는 2.5 mm ϕ x 2.5 mm t 원주형 Ir 표적에 대하여 Ir 표적내부에서의 중성자 자기흡수효과를 알아보기 위하여 2.5 mm ϕ x 0.25 mm t Ir 표적 10장을 포개어 중성자 방사화시키는 방법으로 표적내부의 생성 방사능 분포를 알아보았다.

2. 방법

선원의 생성방사능을 이론적으로 계산할 수 있다면 이 값을 γ 선 자기흡수가 없는 경우의 방사능으로 하고 다시 선원의 방사능을 측정하여 그 비로부터 γ 선 자기흡수인자 f 를 구할 수 있다. 즉 γ 선 자기흡수가 없을 때의 선원의 이론적 방사능을 A 라 하면 이값은 다음식으로 주어진다³⁾.

$$A = h S_0 W \quad (1)$$

여기에서 h 는 표적을 원자로에서 중성자 조사시킬 때의 중성자 자기흡수인자로서 우리가 실제 얻는 비방사능과 중성자 자기흡수가 없다고 가정했을 때 얻는 비방사능과의 비이다. S_0 는 중성자 자기흡수가 없을때의 생성 비방사능이며 W 는 표적의 무게이다. 표적을 중성자 조사시킨 후 이온전리함을 사용하여 측정된 방사능값을 A' 라하면 선원의 γ 선 자기흡수인자 f 는

$$f = A'/A \quad (2)$$

로 구할 수 있다. 이 때 중성자 자기흡수인자 h 에 대해서는 계산을 간편하게 하기위해서 2r mm ϕ x l mmt의 원주형 표적에 대해서 직경과 길이가 같은 경우($2r = l$) 이를 근사적으로 같은 체적의 구형으로 취급할 수 있다. 즉 원주형 선원의 반지름을 r 이라하면 이를 구형으로 근사시켰을 때 구형선원의 유효반지름 $r' = (3/2)^{1/3} r$ 으로 주어진다. 이 때 중성자 자기흡수인자 h 는 Nisle의 다음 근사식으로 구할 수 있다⁴⁾.

$$h = \frac{1}{2\epsilon} [1 - \exp(-2\epsilon)] \quad (3)$$

$$\epsilon = \frac{2N\sigma r'}{3} \quad (4)$$

여기에서 N 은 표적의 원자밀도이고 σ 는 열중성자 흡수단면적, r' 은 구형 근사선원의 반지름이다. 구형이 아닌 평판형 선원에 대하여 ϵ 는 다음식으로 주어진다.

$$\epsilon = \frac{2N\sigma V}{S} \quad (5)$$

이때 V 는 표적의 부피(cm^3), S 는 표적의 표면적(cm^2)이다.

3. 실험

1) 표적의 중성자조사

실험을 위하여 순도 99% 이상인 Ir 금속표적 5가지 종류를 사용하였다. 크기가 2 mm ϕ x 2 mm t, 3 mm ϕ x 3 mm t 및 3 mm ϕ x 0.1 mm t, 3 mm ϕ x 0.25 mm t 표적 1개씩을 선정하였고 표적내부의 중성자 자기흡수효과를 알아보기 위하여 2.5 mm ϕ x 0.25 mm t 의 Ir 원판형 표적 10장을 겹쳐서 하나의 2.5 mm ϕ x 2.5 mm t 표적으로 만든 후 두께 2 mm의 알루미늄 캡슐(내용적 2.6 mm ϕ x 2.6 mm t)에 넣고 밀봉하였다. 각각의 표적에 대하여 무게를 측정하고 이들 표적을 하나로의 PTS조사공에서 원자로 출력 15 MW에서 14분간 조사시켰다. 이때의 열중성자속은 1.286×10^{13} n/cm².sec 이다. 중성자 조사 후 불순물로 ¹⁹²Ir와 동시에 생성되는 ¹⁹⁴Ir의 방사능을 감쇄시키기 위해서 10일동안 냉각시켰다.

2) 방사능 측정

표적의 방사능측정은 CRC-15R(Capintec Co.) 이온전리함을 사용하였고 이온전리함의 교정에는 Cs-137(Capintec Co.) 교정선원을 사용하였다. 2.5mm ϕ x 0.25 mm t 의 Ir 원판형 표적 10장을 겹쳐서 만든 2.5 mm ϕ x 2.5 mm t 표적은 전체의 방사능을 측정하고 후 개별 원판표적으로 다시 분리하여 각각의 방사능을 측정하였다. 이 방법으로 양단부에 위치한 원판표적의 생성 방사능과 중심부에 위치한 원판표적의 방사능을 비교함으로써 표적 내부에서의 중성자 자기흡수효과를 정도를 알아보고자 하였다.

4. 실험결과 및 토의

1) γ 선 자기흡수인자 결정

각각의 표적에 대하여 ¹⁹²Ir의 생성 비방사능 $S_o(Ci/g)$ 는 다음식에 의해 구할 수 있다⁵⁾.

$$S_o = \frac{N\sigma\phi}{3.7 \times 10^{10} (1 + (\sigma' - \sigma)\phi/\lambda)} (\exp(-\sigma\phi t) - \exp(-(\lambda + \sigma'\phi)t)) \quad (6)$$

여기에서 N 는 g당 표적핵의 수, σ 는 ¹⁹¹Ir 의 열중성자 포획단면적(940 barns), σ' 는 ¹⁹²Ir의 열중성자 포획단면적(1000 barns), ϕ 는 열중성자속 밀도 (cm⁻² s⁻¹)이고 t 는 조사시간(sec), λ 는 ¹⁹²Ir의 붕괴상수 이다. 식 (6)에 의해 계산된 각 표적의 생성방사능을 표 1에 나타내었다. 각 표적에 대해서 측정된 방사능과 이론적으로 계산된 생성방사능을 사용하여 식 (2)에 의해서 γ 선 자기흡수인자를 계산할 수 있으며 이 값들은 표1 에 나타내었다. 각 표적에 대한 γ 선 자기흡수인자는 3 mm ϕ x 3 mm t, 2.5 mm ϕ x 2.5 mm t, 2 mm ϕ x 2 mm t의 원주형 표적에 대하여 각각 0.614, 0.687, 0.704 였고 3 mm ϕ x 0.25 mm t, 3 mm ϕ x 0.1 mm t의 원판형 Ir 표적에 대해 각각 0.827, 0.875 였다. 표적형태에 따른 γ 선 자기흡수인자를 비교하기 위하여 각 표적의 표면적에 대한 체적의 비를 표1 에 나타내고 이 값과 γ 선 자기흡수인자와의 관계를 그림1 에 나타내었다. 그림1 에서 보는 것과 같이 체적에 대한 표면적의 비가 클수록 γ 선 자기흡수가 작아짐을 알 수 있다. 이는 표면 근처에서의 방사능 분포가 상대적으로 크기 때문에 표면적이 클수록 γ 선 자기흡수효과를 줄일 수 있기 때문

이다.

2) 중성자자기흡수효과

이번 실험에서 사용한 각 표적에 대하여 체적에 대한 표면적의 비에 따른 중성자 자기흡수인자의 계산값을 표1 및 그림1에 함께 나타내었다. 중성자 자기흡수효과도 역시 체적에 대한 표면적의 비가 클수록 작아짐을 알 수 있다. 2.5 mm ϕ x 0.25 mm t 원판형 Ir 표적 10장을 겹쳐서 만든 2.5 mm ϕ x 2.5 mm t 표적에 대한 방사능 측정값을 표2와 그림2에 나타내었다. 가장 낮은 방사능 값을 1로 했을 때 각 표적의 상대적인 방사능 값들을 표2에 나타내었다. 그림 2에서 보듯이 개별표적의 방사능 값은 중앙에 위치한 표적에 대하여 좌우로 대칭의 분포를 보여주며 선원의 양끝부분의 생성방사능은 중심부의 생성방사능의 약 2 배가 됨을 알 수 있었다. 이는 중성자 자기흡수효과로 인해 선원의 중심부에서 핵반응이 양끝부분에 비해 50 % 정도밖에 안 일어났음을 보여주며 표적 전체적으로는 평균적으로 방사능이 균일한 분포에 가까워진다고 볼 수 있다.

5. 결 론

산업용 및 의료용으로 많이 이용되는 ^{192}Ir 방사선원에 대한 γ 선의 자기흡수인자를 실험을 통하여 구하였다. 조사조건은 하나로의 PTS 조사공을 사용하여 14분간 조사하였으며 그때 운전출력은 15 MW, 열중성자속은 1.286×10^{13} n/cm².sec 였다. 실험결과 3 mm ϕ x 3 mm t, 2.5 mm ϕ x 2.5 mm t, 2 mm ϕ x 2 mm t의 원주형 표적에 대하여 γ 선의 자기흡수인자는 각각 0.614, 0.687, 0.704 였고 3 mm ϕ x 0.25 mm t, 3 mm ϕ x 0.1 mm t의 원판형 Ir 표적에 대해 각각 0.827, 0.875 였다. 실제적으로 가장 많이 사용되는 선원형태인 2.5 mm ϕ x 2.5 mm t 표적에 대한 표적내부의 중성자 자기흡수효과의 정도를 알아본 결과 선원의 양 끝부분의 생성방사능은 중심부의 생성방사능의 약 2 배가 됨을 알 수 있었다. 앞으로 하나로를 사용하여 실제 ^{192}Ir 방사선원을 제조 공급할 때 γ 선의 자기흡수인자로 이번 실험에서 구한 값들을 사용하여 최종적으로 사용자에게 제공되는 방사능 값을 비교적 정확하게 보정할 수 있을 것이다.

참고문헌

1. Lederer C.M., et al., "Table of Isotopes", 7th Ed., P. 1229, John Wiley & Sons(1978)
2. Dixon, W.R., "Self-Absorption Corrections for Large Gamma-Ray Sources", Nucleonics, 8(4), 68(1951)
3. Syo Mameda., et al., "Development of a High Intensity Ir-192 γ -ray Radiographic Sources", J. App. Rad. and Iso., Vol 27. p447-451(1976)
4. R.G. Nisle, Nucleonics, 18, No.3, 86(1960)
5. Hisashi Katoh et al., "Production of Radioisotopic Gamma Radiation Sources in JAERI", JAERI/M-8810(1980)

Table 1. γ -ray Self-Absorption Factor obtained Experimentally

Ir Targets	Sur./Vol.	Cal. Act. (mCi)	Mea. Act. (mCi)	f	h
3 mm ϕ x 3 mm t	1.00	3.405	2.090	0.614	0.200
2.5 mm ϕ x 2.5 mm t	1.20	2.237	1.536	0.687	0.239
2 mm ϕ x 2 mm t	1.50	1.407	0.990	0.704	0.292
3 mm ϕ x 0.25 mm t	4.67	0.813	0.686	0.827	0.617
3 mm ϕ x 0.1 mm t	10.67	0.502	0.439	0.875	0.800

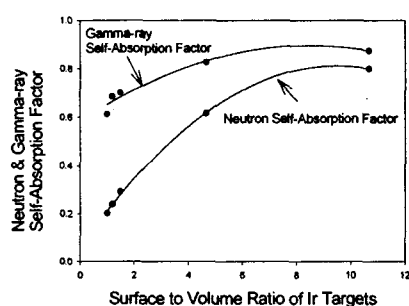


Fig. 1. Neutron & γ -ray Self-absorption Factor for Surface to Volume Ratio of Ir Targets

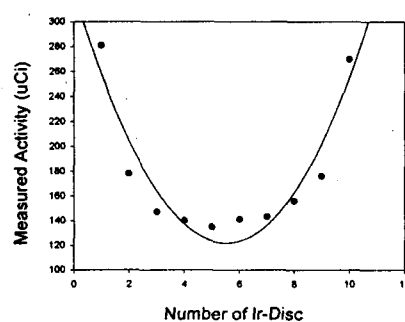


Fig. 2. Measured Activity of Ir-Disc (2.5 mm ϕ x 0.25 mm t) piled during neutron irradiation time

Table 2. Activity & Relative Intensity of Ir-discs(2.5 mm ϕ x 0.25 mm t)

Target No.	Activity (uCi)	Relative Intensity
1	281	2.07
2	178	1.32
3	147	1.09
4	140	1.04
5	135	1.00
6	141	1.04
7	143	1.06
8	156	1.16
9	176	1.30
10	270	2.00
Avg.	176.7	1.31